Механика

Н. Х. АРУТЮНЯН, С. М. МХИТАРЯН

НЕКОТОРЫЕ КОНТАКТНЫЕ ЗАДАЧИ ДЛЯ ПОЛУПЛОСКОСТИ С ЧАСТИЧНО СКРЕПЛЕННЫМИ УПРУГИМИ НАКЛАДКАМИ

В настоящей работе рассматринаются некоторые контактные задачи для упругой полуплоскости, усиленной на консчном отрезке своей границы частично скрепленными с ней упругими накладками малой толщины. Характерной особенностью поставленных здесь задач, в отличие от тех, которые были рассмотрены в предыдущих работах анторов [1, 2, 3], является то, что на концах частично скрепленной упругой накладки возникают конечные напряжения, подлежащие определению.

Решение этих задач сводится к решению сингулярных интегродифференциальных уравнений с ядром Коши. В работе предлагается эффективный способ решения этих уравнений, состоящий в их сведении к вполне регулярным или квазивполие регулярным бесконечным системам линейных уравнений простой структуры. Это позноляет с любой наперед заданной точностью определить иходящие в ряды неизвестные коэффициенты, при помощи которых представляются контактные напряжения под упругими накладками.

Исследованные здесь задачи тесно примыкают к вопросам передачи нагрузки от стрингеров к упругим телам и имеют прикладное значение.

Насколько нам изнестно, рассматриваемые в настоящей работе задачи ставятся и решаются впервые.

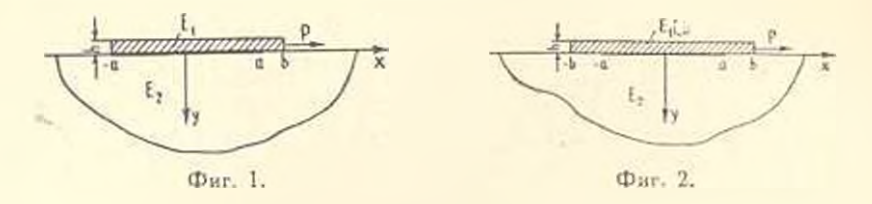
§ 1. Постановка задач и вывод определяющих уравнений

Пусть упругая полуплоскость на консчном отрезке [-a, b] (0 < a < b) своей границы усилена упругой накладкой постоянной достаточно малой толщины h, намного меньшей a ($h \ll a$), приваренной или приклеенной к полуплоскости только по отрезку [-a, a], так что часть [a, b] накладки не скреплена с основанием, то есть полуплоскостью. Кроме того, пусть к одному из концов накладки, например, к правому концу, приложена сосредоточенная сила P, направленная вдоль ее оси (фиг. 1).

Во второй задаче предполагается, что полуплоскость усилена на конечном отрезке [-b,b] своей границы упругой накладкой достаточно малой толщины h, также частично скрепленной с полуплоскостью, а именно: по отрезку [-a,a], так что части [-a,-b] и [b,a] накладки не скреплены с основанием. Здесь также считается, что к

одному из концов накладки, например, к правому концу, приложена сосредоточенная сила P, направленная вдоль ее оси (фиг. 2).

В дальнейшем эти задачи кратко будем именовать первой и второй контактными задачами соответственно.



Отметим, что накладки могут быть нагружены и сосредоточенными силами, направленными вдоль их осей и приложенными к лепым концам или однопременно к обоим концам накладок. Решения поставленных задач в этих случаях нагружения накладок получаются из указанных двух на основании принципа наложения. Однако следует отметить то важное обстоятельство, что, когда накладки нагружены сосредоточенными силами, которые вызывают сжатие накладок в осевом направлении, обсуждаемые нами задачи можно поставить иначе. А именно, можно поставить как задачи о потере формы устойчиности упругих стержней на упругом основании, представляющие обобщение известной задачи Эйлера. Рассмотрение этого круга вопросов выходит за рамки настоящей работы и им будет посвящено отдельное исследование авторов.

Оченидно, что упомянутые контактные задачи можно рассматринать и для упругой полубесконечной пластины, когда на конечном отрезке споей кромки она усилена описанным выше образом упругими накладками малой толщины. При этом предполагается, что контактные напряжения по поперечному сечению накладок распределены ранномерно, а пластина находится в обобщенном плоском напряженном состоянии. Решения этих задач будут отличаться от решений соответстнующих задач для полупространства, находящегося в условиях плоской деформации, лишь некоторыми постоянными. Поэтому во всем дальнейшем мы ограничимся рассмотрением указанных контактных задач только для упругого полупространства, находящегося в условиях плоской деформации, то есть полуплоскости.

Наше задача заключается в определении закона распределения контактных напряжений вдоль отрезков креилений упругих накладок с упругой полуплоскостью. Как и в работах [1, 2, 3, 4], будем предполагать, что вследствие малости толщины // жесткость накладок на изгиб пренебрежимо мала, и поэтому можно пренебречь нормальным давлением накладой на нолуплоскость. Иначе гоноря, примем, что под накладками действуют только тангенциальные контактные папряжения, то есть они находятся и одноосном напряженном состоянии.

Предположение о малости нормального давления можно обосновать при помощи следующих рассуждений, позволяющих получить для него конкретную оценку. Спачала обратимся к случаю бесконечной в обоих направлениях накладки, скрепленной с полубесконечной пластиной или волуплоскостью и нагруженной сосредоточенной силой P. Эта задача неследована в работе [4] и изнестна как задача Мелана. В указанной работе предполагается, что накладка и пластина изготовлены из одинаковых материалов, по имеют разную ширину. Считая, что и накладка и пластина имеют одинаковую ширину, на основании решения известной задачи Фламана, напряжения в любой точке (x, y) пластины, ориснтированной показанным выше образом, даются следующими простыми формулами:

$$\frac{2P}{\pi} \frac{xy^2}{(x^2 + y^2)^2} = \frac{2P}{\pi} \frac{x^2y}{(x^2 + y^2)^2} = \frac{2P}{\pi} \frac{x^3}{(x^2 + y^2)^2}$$

Из этих формул непосредственно следует, что при малых у и при любом фиксированном х напряжения будут порядков

$$z_q = O(y^2), \qquad z_{xy} = O(y), \qquad z_x = O(1)$$

на основании чего можно считать, что $z_g = 0$, $z_g \approx 0$ и $z \neq 0$, то есть пограничный слой упругой полубесконечной пластины малой толщины под действием сосредоточенной силы P_{τ} приложенной на ее границе и начале координат, находится в одноосном напряженном состоянии.

Обратимся теперь к случаю накладки конечной длины, полностью скрепленной по отрезку [и, и] с упругой полуплоскостью и нагруженной гак, как показано на фиг. 1. В том случае, когда сосредоточенная сила Р приложена к правому концу накладки в ес наннизшей точке, пормальные контактные напряжения отсутстнуют. Это следует из того, что закон распределения нормальных напряжений доджен быть кососимметрическим и если эти напряжения не равны нулю, то дают неуранновещенный момент. Следовательно, нормальные контактные напряжения под накладкой возникают благодаря наличию момента сосредоточенной силы Р отпосительно оси, перпендикулярной к упругой поауплоскости и проходящей через начало координат. Под действием нормальной кососимметрической нагрузки накладка будет изгибаться. Очевилно, что эта нагрузка по абсолютной пеличине будет наибольшей в случае абсолютно жесткой накладки, то есть в случае штамна. Таким образом, нормальное дапление под упругой накладкой по абсолютной величине не превосходит абсолютного значения нормального данления под абсолютно жесткой накладкой.

Это ясно и из следующих соображений. При деформации полуплоскости со скрепленной накладкой под дейстнием приложенной внешвея нагрузки и ней накаплинается потенциальная энергия деформации

2 Известия АН Аэм. ССР. Механика, No 2



определенной величины. Когда накладка абсолютно жестка, эта энер гня накапливается только в упругой полуплоскости и полностью расходуется для ее деформации. Когда же накладка упругая, часть потенциальной энергии, накопленной н усиленной накладкой полуплоскости, расходуется для деформации накладки, а другая часть — для деформации полуплоскости. Отсюда следует, что когда жесткая накладка становится упругой, то она берст на себя часть контактных напряжений, дейстнующих под абсолютно жесткой накладкой, то есть расслабляет поле этих последних напряжений, снимает часть этих напряжений.

Таким образом, пормальные контактные напряжения под упругой накладкой указанным образом можно сравнить с теми же напряжениями под абсолютно жесткой накладкой. Но в случае абсолютно жесткой накладки соотнетствующая контактная задача известна. Ее решение приведено в [5]. Запишем это решение, ограничиваясь только формулой для интересующего нас нормального контактного давления

$$p(x) = \frac{(x+1)M}{-1 \times (1+4\beta^2) a^2} \frac{1}{1 \cdot a^2 - x^2} \left[2\beta a \sin\left(3 \ln \frac{a+x}{a-x}\right) + x \cos\left(3 \ln \frac{a+x}{a-x}\right) \right]$$

где x и 3 — упругие постоянные для полуплоскости, а M — момент силы P относительно начала координат. Поскольку $M \leqslant Ph = 1$ — где (a) = P/h — осевое напряжение, которое действует на конце x = a накладки, можем записать

$$p(x) = \frac{(x+1)\frac{a(a)}{a}(a)h^{\frac{\alpha}{2}}}{a(1+4\beta^{2})\frac{1}{a}(a^{2}-x^{2})} \left[2\beta a \sin\left(\beta \ln\frac{a+x}{a-x}\right) + x\cos\left(\beta \ln\frac{a+x}{a-x}\right)\right]$$

Приняв во внимание сказанное ныше, на основанни последней формулы можем утверждать, что при $-l \leqslant x \leqslant l$, где $l \leqslant a$.

$$|\sigma_y^{(yn)}(x)| \leqslant |\sigma_y^{(n)}(x)| = \sigma_x^{(yn)}(\alpha) O\left(\frac{h^2}{\alpha^2}\right)$$
 (1.1)

где $z_y^{(y)n_j}(x)$ — нормальные контактные напряжения под упругой накладкой. $z_y^{(y)}$ — те же напряжения под абсолютно жесткой накладкой.

В концевых точках накладки, расположенных на границе полуплоскости, оба напряжения и как было доказано в работе [3], обращаются в бесконечность и можно считать, что полученная оценка (1.1) будет вери: и в этом случае.

Формула (1.1) покламвает, что нормальные папряжения под накладкой по сравпению с осевым напряжением малые величины порядка $O(h^2/a^2)$, что позволяет ими пренебречь в рассматриваемых нами задачах. Этим подтверждается высказанное выше предположение о малости нормального давления под накладкой, когда накладка полностью скреплена с полуплоскостью. Однако очевидно, что оценка (1.1) имеет место и в случае неполного скрепления накладки с полуплоскостью.

Основываясь на сделанных физических предположениях, перейдем теперь к определяющим уравнениям, которыми будут описываться рассматриваемые нами задачи. Поступая совершенно аналогично тому, что было сделано в работах [1, 2, 3], находим, что решение указанных выше задач сводится к решению следующего сингулярного интегролифференциального уравнения с ядром Коши:

$$\int_{0}^{s} \frac{\varphi'(s) \, ds}{s - x} = \lambda \varphi(x), \qquad k = \frac{\pi E_2}{2 (1 - v^2) \, h E_1} \tag{1.2}$$

при граничных условиях

$$\varphi(-a) = 0, \qquad z(a) = P \tag{1.3}$$

Здесь приняты следующие обозначения: $\varphi(x) = f(x)$ неизнестное тангенциальное контактное напряжение, действующее вдоль линий креплений накладок с полуплоскостью, у коэффициент Пуассона, E_z модуль Юнга для материала полуплоскости, E_1 модуль Юнга накладки, а функция $\varphi(x)$ определяется равенством

$$\varphi(x) = \int_{-a} \varphi'(s) ds = \int_{a} \varphi(s) ds \qquad (1.4)$$

Кроме того, следует отметить, что в (1.2) интеграл понимвется в смысле главного значения по Коши.

В случае первой контактной задачи мы должны строить неограниченное на конце x=a и ограниченное на конце x=a интервала интегрирования решение интегро-дифференциального уравнения (1.2) при граничных условиях (1.3). В случае второй контактной задачи мы должны строить ограниченное на обоих концах x=a интервала интегрирования решение того же ураниения при тех же граничных условиях.

Отметим, что поставленные контактные задачи имеют смыса только для упругой накладки, поскольку для жесткой накладки (штампа) ураниение (1.2) не имеет решения, ограниченного на одном или на обоих концах накладки.

Без ограничения общности предлагаемого здесь способа решения звази можно предположить, что модуль Юнга накладки или ее поперечное сечение янляются переменными пеличинами, а упругая полуплоскость на бескопечности нагружена наперед заданными усилиями. Поскольку учет этих факторов не имеет сколько-нибудь принципиального

значения, то мы ограничимся исследованием рассматриваемых нами задач в постановке, когда соотнетствующее интегро-дифференциальное уравнение имеет простейший вид (1.2).

В дальнейшем будет показано, что решение интегро-дифференциального уравнения (1.2) при граничных условиях (1.31 сводится к решению бесконсчных систем личейных уравнений. Доказывается, что ати бесконечные системы при малых значениях / вполне регулярны, а при больших значениях д квазивнолие регулярны. В этом результате отражается принятая нами физическая модель рассматриваемых задач, а именно, модель одномерного упругого контипуума накладки. Чтобы пояснить это подробнее, обратимся к уравнению (1.2). Из указанного уравнения непосредственно следует, что при больших / можно положить $\frac{1}{2}(x) = 0$ нан, что то же самое, согласно (1.4) $\frac{1}{2}(x) = 0$, то есть под накладкой, нагруженной сосредоточенной силой P консчной величины, не возникает никаких контактных напряжений (вормальные напряжения равны нулю по предположению). Полученный абсурд показывает, что при больших Е модель одномерного упругого континуума накладки не годится. Но как раз при больших 🔥 как отмечалось ныше, соответствующие бесконечные системы квазивнолне регулярны-

Сказанное позволяет утверждать, что предложенный нами способ решения определяющих уравнений, а именно, сведение их решения к решению вполне регулярных или кназивполне регулярных бесконечных систем линейных уравнений представляется естественным, поскольку и нем отражается сама физическая модель поставленных задач.

Отметим еще следующее. Граничные условия (1.4) выражают тот факт, что приложенная к концу накладки сосредоточенная сила P полностью передается накладке в смысле, что на ее концах не возникают сосредоточенные осевые напряжения. Этот факт вытекает из предположения одномерности напряженного состояния накладки и доказан в работах [6, 7].

В заключение параграфа несколько видоизменим определяющие уравнения. Замения в соотношениях (1.2) - (1.4) х на ax, s на as, придем к сингулярному интегро-дифференциальному уравнению

$$\int_{-1}^{s} \frac{\varphi'(s) ds}{s - x} = h \alpha \varphi(x) \qquad \left(1 = \frac{\pi E_z}{2(1 - r^2) h E_1}\right) \qquad (1.5)$$

при граничных условиях

$$\varphi(-1) = 0, \qquad \varphi(1) = P$$
 (1.6)

где

$$\varphi(x) = \frac{1}{12} (x) dx, \qquad \tau^*(x) = a\tau(ax)$$
 (1.7)

Теперь тангенциальное контактное напряжение будет определяться формулой

$$\tau(x) = \frac{1}{a} \, \varphi'\left(\frac{x}{a}\right) \qquad (-a < x < a) \tag{1.8}$$

Таким образом, решение первой контактной задачи сводится к построению такого решения интегро-дифференциального уравнения (1.5) при граничных условиях (1.6), которое не ограничено на конце x=-1 и ограничено на x=1 интервала интегрирования. Решение второй контактной задачи сводится к построению такого решения того же самого уравнения (1.5) при тех же граничных условиях (1.6), которое ограничено на обоих концах $x=\pm 1$ интервала интегрирования.

§ 2. Об особенностях контактных напряжений на концах упругих накладок

В классических контактных задачах линейной теории упругости особенности, присущие контактным напряжениям на концах участков соприкосновения упругих тел, имеют, вообще гопоря, вид квадратного кория. Оказывается, что особенности такого же типа присущи контактным напряжениям на концах упругих накладок и в случае рассматриваемых нами задач в указанной выше постановке. Докажем этот факт, следуя работе [3], в случае первой контактной задачи. Для этой цели нам понадобятся следующие результаты из [8], относящиеся к поведению интеграла типа Коши вблизи концов линии интегрирования, применительно к нашему случаю.

Пусть [a, b] конечный отрезок действительной оси и пусть плотность интеграла типа Коши

$$\Phi\left(z\right) = \frac{1}{2\pi i} \int_{z}^{z} \frac{\varphi\left(s\right) ds}{s-z}$$

в окрестности одного из концов α или \dot{b} , которую обозначим через c, представим в яиде

$$\varphi(x) = \frac{\varphi^*(x)}{|x - c|^{\alpha}} \qquad (0 < \alpha < 1) \tag{2.1}$$

где функция $\phi^*(x)$ в окрестности точки с удовлетворяет условию Гельдера, то есть принадлежит классу H в окрестности точки с.

Тогда утверждается, что

$$\Phi(x) = -\frac{\operatorname{ctg} x \pi}{2i} \frac{\varphi^*(c)}{|x-c|^2} + \Phi^*(x)$$

где верхний знак берется при c = a, а нижний при c = b. Притом справедливо представление

$$^{(1)*}(x) = \frac{^{(1)**}(x)}{|x - c|^{n_0}}, \qquad (2.2)$$

где $\Phi^{**}(x)$ принадлежит классу H в окрестности точки с.

Теперь заметим следующее. Потенциальная энергия, накопленная в упругой полуплоскости вследствие ее деформации контактными напряжениями под упругой накладкой, должна быть величиной конечной. Поэтому возможная особенность контактных напряжений на интересующем нас левом конце накладки должна быть интегрируемого порядка. Сказаннос поэволяет утверждать, что контактное напряжение в обсуждаемом случае можно представить в виде

$$\tau^*(x) = \alpha \tau(\alpha x) = \frac{\sqrt{(x_1 \lambda)}}{(1 + x)^2} \qquad (0 < \alpha < 1)$$
 (2.3)

где /(x, t) — непрерывная по x функция на отрезке [-1, 1], удовлетворяющая условию Гельдера с некоторым показателем.

Займемся определением «. Приняв во внимание формулу (1.7), на основе (2.1) и (2.3) интегро-дифференциальное уравнение (1.5) представим в виде

$$= \operatorname{ctg} \, 2\pi \, \frac{(1-x)^a}{(1-x)^a} + \Phi^* \left(x\right) = \lambda \, a \, \varphi \left(x\right) \tag{2.4}$$

функция (т) (х) согласно (2.2) обладает снойстном

$$(1-x)^{-\Phi^*}(x) \to 0 (2.5)$$

Обе части равенства (2.4) умножим на $(1+x)^2$ и перейдем к пределу x=1. Учитывая (2.5) и то, что по формуле (1.7) функция x (x) перерывна на отрезке [-1,1], для определения неизвестной степени α получим уравнение α 0, откуда $\alpha=\frac{1}{2}$.

Таким образом, контактное напряжение вдоль участка соединения накладки с полуплоскостью имеет вид

$$\tau^{\pm}(x) = a \mp (ax) = \frac{\chi(x, h)}{|\hat{1} + x|}$$
 (2.6)

Из дальнейших рассмотрений будет пилно, что функция f(x, x), припадлежащая классу H по переменной x, по переменной x является целой функцией, отличной от нуля и области изменения своих аргументов. Сказанное и означает, что присущая контактным напряжениям
особенность на конце x = -1 упругой накладки характеризуется кналратным корнем по формуле (2.6).

На другом конце x — 1 накладки контактное напряжение, как было отмечено пыше, ограничено и подлежит определению. Контактное напряжение ограничено и во второй задаче, но на обоих концах накладки. Эти величины также должны быть определены.

§ 3. Сведение определяющих уравнении к бесконечным системам линейных уравнений

Как и п работе [3], сведение определяющих уравнений к бесконечным системам линейных уравнений здесь будет основываться на использовании некоторых важных интегральных соотношений для классических многочленов Якоби и Чебышева в. Нужные нам соотношения известны [9] и имеют вид

$$\int \frac{P_n^{(1/2,-1/2)}(s)}{s-x} \int \frac{\overline{1-s}}{1+s} ds = -\pi P_n^{(-1/2,1/2)}(x) \qquad (n=0,1,2,...) \quad (3.1)$$

$$\int_{-1}^{2} \frac{\sqrt{1-s^{2}} U_{n-1}(s) ds}{s-x} = -\pi T_{n}(x) \qquad (n=1, 2, 3, ...)$$
 (3.2)

Здесь $P_n^{(1,2,-1,2)}(x)$ и $P_n^{(-1,2,-1,2)}(x)$ (n=0,1,2,...) известные многочаены Якоби $P_n^{-1}(x)$, когда $\alpha=\beta=1/2$ и $\alpha=\beta=1/2$ соответственно. Эти многочаены, ортогональные на отрезке $\frac{1}{n}=1,1$ действительной оси по весу $\frac{1}{n}=1,1$ и $\frac{1}{n}=1,1$ и $\frac{1}{n}=1,1$ действительной оси формулами

$$P^{1/2, -1/2}(x) = \frac{(2n-1)!!}{2n!!} \sin \frac{(2n+1)t}{2} \left| \sin \frac{t}{2} \right|$$

$$x = \cos t$$

$$(3.3)$$

$$P^{(-1/2, 1/2)}(x) = \frac{(2n-1)!!}{2n!!} \cos \frac{(2n+1)t}{2} \left| \cos \frac{t}{2} \right|$$

$$(n = 0, 1, 2, ...)$$

где считается, что (-1)!! = 0!! = 1.

Фитурирующие в соотношениях (3.2) $T_n(x) = \cos(n \arccos x)$ и $U_{n-1}(x) = \sin(n \arccos x)/\sin(\arccos x)$ — известные многочлены Чебышева первого и второго рода соответственно.

Отметим, что имеет место и другое нажное соотношение, получающееся из (3.1), если в нем поменять местами верхние индексы и соответствующим образом весовые функции.

[&]quot; В указанном работе были использованы только многочлены Чебышева первого и второго рода.

Перейдем теперь к изложению способа сведения интегро-дифференциального уравнения (1.5) при граничных условиях (1.6) к бесконечной системе линейных уравнений. Сначала рассмотрим первую контактную задачу. Приняя во внимание сказанное в предыдущем параграфе относительно контактного напряжения под упругой накладкой, функцию ф'(x) предстаним в виде

$$\varphi'(x) = x_{-1} + \sqrt{\frac{1-x}{1+x}} \sum_{n} x_n^{n} P_n^{(1/2, -2/2)}(x) \quad (-1 < x < 1) \quad (3.4)$$

Здесь коэффициенты $x_1 = 1$ неизпестны и подлежат определению, притом x_{-1} , точнее гоноря, согласно (1.8) x_{-1}/a дает значение контактного напряжения на конце x = a накладки.

При помощи формул (1.7), (1.8) и (3.4) находим

$$\varphi(x) = x'_{-1}(1+x) + \sum_{n} x'_{n} I_{n}(x)$$
 (-1 < x < 1) (3.5)

FAC

$$I_n(x) = \int \frac{1-s}{1+s} P^{2z-1/n}(s) ds$$
 $(n = 0, 1, 2, ...)$

Положив в последней формуле $x = \cos t$, $s = \cos u$ и воспользованшись первой из формул (3.3), будем иметь

$$I_n(x) = \begin{vmatrix} t + \sin t, & \text{при } n = 0 \\ x & \cos t & (0 \le t - \pi) \\ \frac{(2n-1)!!}{2n!!} \left\{ \frac{\sin(n-1)t}{n-1} - \frac{\sin nt}{n} \right\}, & \text{при } n = 1, 2, \dots \end{vmatrix}$$
(3.6)

Подставим теперь в (3.5) x=1 или, что то же самое, и (3.6) t=0 и учтём граничные условия (1.6). Получим, что

$$x_{-1} = \frac{P - \epsilon x_{-1}}{2} \tag{3.7}$$

Принян во внимание последнюю формулу, ныражения функций $\phi'(x)$ и $\phi(x)$ из (3.4) и (3.5) подстаним в интегро-дифференциальное уравнение (1.5). После элементарных операций придем к раненству

$$\pi \sum_{n=0}^{\infty} x_n P_n^{(-1,2,1,2)}(x) = \frac{P}{2} \ln \frac{1-x}{1+x} - \frac{Par}{2} (1-x) + \sum_{n=0}^{\infty} x_n^{-1} d_n(x)$$

гле

$$d_{n}(x) = \begin{cases} -\frac{\pi}{2} \ln \frac{1-x}{1-x} - \frac{h \cdot a \pi}{2} (1+x) - h \cdot a I_{0}(x), & n = 0 \\ -h \cdot a I_{n}(x) & (n = 1, 2, ...) \end{cases}$$
(3.8)

Обе части последнего равенства умножим на $P_m^{(-1),(-1)}(x) \mid (1+x)/(1-x)$ (m=0,1,2,...) и проинтегрируем в интернале (-1,1). Используя свойство ортогональности ятих функций и везде перейдя к переменной t по формуле $x=\cos t$, получим бесконечную систему линейных уравнений

$$x_n = \frac{1}{n!} \sum_{n=0}^{\infty} K_{n}^{(0)} \cdot x_n + a_n^{(1)}$$
 (m = 0, 1, 2, ...) (3.9)

где введены обозначения

$$K_{m,n}^{(1)} = \int_{0}^{\infty} d_{n}(\cos t) \left[\cos (m+1) t + \cos mt\right] dt \qquad (m, n = 0, 1, 2, ...)$$

$$a_{m}^{(1)} = \frac{P}{\pi^{2}} \int_{0}^{\pi} \ln \left(\operatorname{tg} \frac{t}{2} \right) \left[\cos (m+1) t + \cos mt\right] dt$$

$$-\frac{\lambda a}{2\pi^{2}} \int_{0}^{\pi} (1 - \cos t) \left[\cos (m+1) t + \cos mt\right] dt$$

$$(m = 0, 1, 2, ...)$$

$$x_{m} = \frac{(2m-1)!!}{2m!!} x_{m}$$

$$= \ln \left(tg \frac{t}{2} \right) + a = \cos^{2} \frac{t}{2}$$

$$-\lambda a \left[\frac{\sin (n+1) t}{n+1} - \frac{\sin nt}{n} \right] \quad \text{при } n = 0$$

$$(3.11)$$

Чтобы выписать явные выражения для ядра (K_m, n_{1m}, n) и свободного члена $(a_m^{(1)})_{m=1}$, следует пользонаться известным разложением [9]

$$\ln\left(\operatorname{tg}\frac{t}{2}\right) = -2\sum_{k=1}^{\infty}\frac{\cos\left(2k-1\right)t}{2k-1} \qquad (0 < t < \pi)$$

и формулами (3.6) и (3.8). Пропустив промежуточные элементарные выкладки, приведем их окончательные пыражения

$$R^{2} + \frac{3\lambda a \pi^{2}}{4} - \lambda a \left(4 + \pi - \frac{\pi^{2}}{2}\right)$$

$$n = 0, \quad m = 0$$

$$\pi^{2} + \frac{\lambda a \pi^{2}}{4} + \frac{2\lambda a}{3}$$

$$n = 0, \quad m = 1$$

$$\frac{\pi^{2}}{2k - 1} + \frac{2\lambda a (2k + 3)}{(2k + 1)^{2} (2k + 1)}$$

$$n = 0, \quad m = 2k \quad (k = 1, 2, ...)$$

$$\frac{\pi^{2}}{2k - 1} + \frac{2\lambda a (2k - 3)}{(2k - 1)^{2} (2k + 1)}$$

$$n = 0, \quad m = 2k - 1 \quad (k = 2, 3, ...)$$

$$2\lambda a \left[\frac{1 - (-1)^{n - m}}{(n^{2} - m^{2})(n + m + 2)} - \frac{1 + (-1)^{n + m}}{(n - m - 1) \left[(n + 1)^{2} - m^{2}\right]} \right]$$

$$n + m, \quad n \neq m - 1, \quad n \neq m + 1$$

$$\frac{4\lambda a}{2m + 1}, \quad \text{npu} \quad n = m$$

$$-\frac{8\lambda a m}{2m + 1}, \quad \text{npu} \quad n = m - 1$$

$$\frac{8\lambda a (m + 1)}{(2m + 3) (2m + 1)}, \quad \text{npu} \quad n = m + 1$$

$$-\frac{P}{\pi} - \frac{\lambda a P}{4\pi}, \quad m = 0$$

$$-\frac{P}{\pi} - \frac{\lambda a P}{4\pi}, \quad m = 0$$

$$-\frac{P}{\pi} - \frac{\lambda a P}{4\pi}, \quad m = 2k$$

$$-\frac{P}{\pi} - \frac{(2k + 1)}{(2k + 1)}, \quad m = 2k - 1$$

$$(3.13)$$

Таким образом, решение первой контактной задачи сведено к решению бесконечной системы динейных уравнений (3.9) с ядром и свободным членом $\{a_m^{(1)}\}_{m=0}$, которые имеют довольно простые выражения и даются формулами (3.12) и (3.13). После того как определяв коэффициент или же $x_0=2x_0$, коэффициент x_{-1} определится из соотношения (3.7).

Обратимся теперь ко второй контактной задаче. Согласно изложенному в предыдущих параграфах, можно полагать

$$\varphi(x) = \frac{y_{-1} - y_0}{2} x - \frac{y_{-1} - y_0}{2} - \sqrt{1 - x^2} \sum_{n=1}^{\infty} y_n U_{n-1}(x)$$
 (3.14)

где $(y_n)_{n-1}^{\infty}$ — неизнестные коэффициенты, подлежащие определении, притом y_{-1} и y_0 , точнее говоря, согласно (1.8), y_{-1}/a и y_0/a являются значениями контактного напряжения на концах накладки.

Функция р(х) из (1.7) будет даваться формулой

$$\varphi(x) = \frac{y_{-1} - y_0}{2} (x^2 - 1) + \frac{y_0 - y_0}{2} (x + 1) + \sum_{n=1}^{\infty} y_n f_n(x) \quad (3.15)$$

где

$$f_n(x) = \int_{-1}^{x} \sqrt{1-s^2} U_{n-1}(s) ds$$
 $(n = 1, 2, ...)$

Легко яндеть, что

$$J_n(x) = \begin{cases} \frac{1}{2} \left(\pi - t + \frac{\sin 2t}{2} \right) & \text{при } n = 1 \\ (0 < t < \pi) & x = \cos t \\ \frac{1}{2} \left[\frac{\sin (n-1)t}{n-1} - \frac{\sin (n-1)t}{n-1} \right] & \text{при } n = 2, 3, \dots \end{cases}$$

Удовлетворив граничным условиям (1.6), находим

$$y_{-1} = P - x_0 - \frac{1}{2} x_1 \tag{3.17}$$

Если теперь подставить выражения $\varphi'(x)$ и $\varphi(x)$ из (3.14) и (3.15) в интегро-дифференциальное уравнение (1.5) и пользоваться соотношениями (3.2), (3.16) и (3.17), то совершенно аналогичным способом, который был изложен выше, получим относительно неизвестных коэффициентов $y_n = 0$ следующую бесконечную систему уравнений:

$$y_{n} = \sum_{n} K_{m,n}^{(2)} y_{n} + \alpha_{m}^{(2)}$$
 (m = 0, 1, 2, ...) (3.18)

rge

$$K_{m,n}^{(2)} = \begin{cases} 0 & \text{ipm} \quad m = 0 \\ -\frac{4}{h \, a} \int_{0}^{n} h_{n}(t) \, dt, & m = 0, \quad n = 1, 2, \dots \\ \frac{2}{\pi} \int_{0}^{n} h_{n}(t) \cos mt \, dt, & m = 1, 2, \dots; \quad n = 0, 1, 2, \dots \end{cases}$$
(3.19)

$$a_{m}^{(2)} = \begin{vmatrix} \frac{3P}{2} & \text{iipi} & m = 0 \\ \frac{2P}{\pi^{2}} \int_{0}^{\pi} \left[2\cos^{2} \frac{t}{2} \ln\left(\ln\frac{t}{2}\right) - \hbar a \cos^{2} \frac{t}{2} + \frac{\hbar a \sin^{2} t}{4} \right] \cos mt dt \\ (m = 1, 2, ...) \\ h_{0}(t) = -2 \left[1 + \cos t \ln\left(\ln\frac{t}{2}\right) \right] - \frac{\hbar a \sin^{2} t}{2} \\ h_{1}(t) - \frac{\pi}{2} \left[1 + 2\cos^{2} \frac{t}{2} \ln\left(\log\frac{t}{2}\right) \right] - \frac{\pi a \sin^{2} t}{8} \\ - \frac{\pi \hbar a}{2} \cos^{2} \frac{t}{2} - \frac{\hbar a}{2} \left(\pi - t + \frac{\sin 2t}{2}\right) \\ - \frac{\hbar a}{2} \left[\frac{\sin(n+1)t}{n-1} - \frac{\sin(n-1)t}{n-1} \right] - n = 2, 3, ...$$
 (3.20)

Явные выражения $\{K_m^{(2)}\}_{m,n=0}$ и $\{a_m^{(2)}\}_{m=0}$ будут следующие:

$$a_{m}^{(2)} = \begin{cases} -\frac{3P}{2}, & m = 0 \\ -\frac{2P}{\pi} \left(\frac{h \cdot a}{4} + 1\right), & m = 1 \\ -\frac{2P}{\pi} \left(\frac{h \cdot a}{16} + \frac{2}{3}\right), & m = 2 \\ -\frac{2P}{\pi (2k - 1)}, & m = 2k - 1 \end{cases}$$

$$(3.22)$$

$$-\frac{4kP}{\pi (4k^{2} - 1)}, & m = 2k$$

Таким образом, решение второй контактной задачи сводится к решению бесконечной системы (3.18) с ядром $\{K_m^{(2)}\}_{m=0}^{n}$ и свободным членом $\{a_n^{(2)}\}_{m=0}^{n}$, которые даются формулами (3.21) и (3.22). После того как определены коэффициенты y_0 и y_1 , коэффициент y_1 определится из (3.17).

§ 4. Исследование бесконечных систем линейных уравнений

Исследование бесконечных систем уравнений (3.9) и (3.18) удобнее провести, отправляясь от выражений ядер в виде (3.10) и (3.19). Сначала рассмотрим бесконечную систему (3.9). Составим суммы

$$S_m^{\{1\}} = \frac{1}{\pi^2} \sum_{n=0}^{1} |K_{m,n}| \qquad (m = 0, 1, 2, ...)$$

Можем записать

$$S_m^{(1)} = \frac{1}{\mathbb{I}^2} \left[\left[\left[K_{m,n} \right] - \sum_{0} \left[K_{m,n}^{(1)} \right] \right] \right]$$

Чтобы оценить входящие в последнюю формулу суммы, воспользуемся формулами (3.10) и (3.11), которые дают

$$K_{m,n}^{(1)} = -i \cdot a \left[\frac{P_{m,n+1} - P_{m,n+1}}{n+1} - \frac{P_{m-1,n} + P_{m-1}}{n} \right]$$

$$(4.1)$$

rae

$$P = \int_{0}^{\infty} \cos mt \sin nt dt = \begin{cases} 0, & \text{npu} \quad n = m \\ \frac{[(-1)^{n-m} - 1]^{n}}{n^{2} - m^{2}}, & n = m \end{cases}$$
 (4.2)

Принян во нимание (4.1), будем иметь

$$\begin{split} S_{m}^{(1)} &= \frac{1}{\pi^{2}} \left[|K_{m,0}^{(1)}| + \lambda a \sum_{n=1}^{\infty} \left| \frac{P_{m+1, n+1} + P_{m, n+1}}{n + 1} - \frac{P_{m+1, n} + P_{m, n}}{n} \right| \right] \leqslant \\ &\leqslant \frac{1}{\pi^{2}} \left\{ |K_{m,0}^{(1)}| + \lambda a \left[\sum_{n=1}^{\infty} \frac{|P_{m+1, n+1}|}{n + 1} + \sum_{n=1}^{\infty} \frac{|P_{m, n+1}|}{n + 1} + \sum_{n=1}^{\infty} \frac{|P_{m, n}|}{n + 1} \right] \right\} \end{split}$$

или же

$$S_m^{(1)} \leqslant \frac{1}{m} \left[\left\{ \left\{ K_{m,0}^{(1)} \right\} + i \, a \left(Q_{m+1} + Q_{m+1} + R_{m-1} - R_m \right) \right]$$
 (4.3)

где

$$Q_{m} = \sum_{n=1}^{\infty} \frac{|P_{m, n+1}|}{n+1}$$

$$(m = 0, 1, 2, ...)$$

$$R_{m} = \sum_{n=1}^{\infty} \frac{|P_{m, n}|}{n}$$

Далее оценим суммы R_m . Имеем согласно (4.2)

$$R_{m} = \sum_{i=1}^{n} \frac{|[(-1)^{n+m} - 1]|}{|n^{2} - m^{2}|} \le 2 \sum_{i=1}^{n} \frac{1}{|n^{2} - m^{2}|} = 2 \left[\sum_{n=1}^{m-1} \frac{1}{m^{2} - n^{2}} + \sum_{n=m+1}^{\infty} \frac{1}{n^{2} - m^{2}} \right]$$

Поскольку функция $f(x) = 1/(m^2 - x^2)$ в интервале (1 < x < m) монотонно возрастает, то справедливо неравенство

$$\sum_{n=1}^{\infty} \frac{1}{m^2 - n^2} < \frac{1}{2m - 1} + \int_{0}^{\infty} \frac{dx}{m^2 - x^2}$$

которое дает

$$\sum_{m} \frac{1}{m^2 - n^2} < \frac{1}{2m - 1} + \frac{\ln(2m - 1)}{2m} \qquad (m = 1, 2, ...)$$

Совершенно аналогичным образом показывается, что

$$\sum_{m} \frac{1}{m^2 - m^2} < \frac{1}{2m + 1} + \frac{\ln(2m + 1)}{2m} \quad (m = 1, 2, ...)$$

Следовательно.

$$R_{\rm m} < 2 \left[\frac{4m}{4m^2 - 1} + \frac{\ln(4m^2 - 1)}{2m} \right] \qquad (m = 1, 2, ...)$$

Отсюда непосредственно следует, что

$$R_m = o\left(\frac{\ln(m)}{m}\right)$$
 при $m \to \infty$

то есть $R_{-} \rightarrow 0$ при $m \rightarrow \infty$ как $\ln{(m)/m}$.

Точно такой же порядок имеют и другие суммы, входящие в неравенство (4.3). С другой стороны, $|K_{m,0}^{(1)}|$, как видно из формулы (3.12), при $m \to \infty$ стремится к пулю как 1/m. Сказанное позполяет утверждать, что

$$S_m^{(1)} = o\left(\frac{\ln(m)}{m}\right) \quad \text{при} \quad m \to \infty$$

Это и означает, что бесконечная система ураннений (3.9) при любом значения физического параметра L кназивнолне регулярна, притом суммы S_m^0 при $m \to \infty$ стремятся к нулю довольно быстро, а именно, как $\ln(m)/m$. На самом деле порядок убынания сумм $S_m^{(1)}$ выше указанного, что можно получить, отправляясь от выражения ядра $\|K_{m,n}^{(1)}\|_{m,n=0}$, из формулы (3.12). На этом, однако, останавливаться не будем.

Свободные члены $a_m^{(1)}$ бесконечной системы (3.9) не только ограничены, по и стремятся к нулю при $m \to \infty$ как 1/m. Это видно из (3.13).

Итак, решение бесконечной системы можно получить с любой необходимой точностью.

Обращаясь к бесконечной системе уравнений (3.18), следует лишь отметить, что ее исследование можно провести совершенно аналогичным образом и для нее имеют место те же самые результаты.

Преобразуем теперь бесконечные системы уравнений (3.9) и (3.18) к виду, и некотором смысле более регулярному. Бесконечную систему (3.9) предстаним и виде

$$x_{n} = \frac{1}{\pi^{2}} \sum_{i} K_{m_{i}}^{(i)} x_{n_{i}} + \frac{1}{\pi^{2}} K_{m_{i}}^{(i)} x_{n} + a_{n}^{(i)} \qquad (m-1, 2, ...)$$
 (4.4)

Пусть $\{x_m^{(1)}\}_{-1}^\infty$ и и језудут решениями бесконечной системы (4.4) при правых частях, равных $a_m^{(1)}\}_{-1}^\infty$ и $\frac{1}{2}$ и соответственно. Тогда решение језистемы (4.4) будет даваться формулой

$$x_m = x_m^{(1)} + x_0 x_m^{(2)} \qquad (m = 1, 2, ...)$$
 (4.5)

С другой стороны, первое уравнение (3.9), т. е. уравнение при m=0. дает

$$\left[1 - \frac{1}{\pi^2} K_{0,+}^{(1)} \middle| x_0 = \frac{1}{\pi^3} \sum_{n=1}^{n} K_{0,+}^{(1)} x_n + a_0^{(1)}\right]$$

Учитыная (4.5), отсюда находим

$$x_0 = \frac{\sum_{n=0}^{K_{0,n}} x_n^{\{1\}} + \pi^* a_n}{K_{0,n} - \sum_{n=0}^{K_{0,n}} K_{0,n}^{\{1\}} \times^{(2)}}$$
(4.6)

то есть после того как точно или приближенно определены $x_{m+m=1}^{(1),\infty}$ и $x_m\}_{m=1}$ из бесконечной системы (4.4) при правых частях, рашных $a_m^{(1)}|_{m=1}$ и $\frac{1}{2}$ $K_{m-n_{fm-1}}^{(1)}$ соответственно, коэффициент x_0 точно или при-

ближенно определится по формуле (4.6).
Таким образом, вместо бесконечной системы уравнений (3.9) мож-

но рассматривать бесконечную систему

$$x_m = \frac{1}{\pi^2} \sum_{n=1}^{\infty} K_{m,n}^{(1)} x_n + b_m^{(1)}$$
 $(m = 1, 2, ...)$ (4.7)

где

$$b_m^{(1)}=a_m^{(1)}$$
 най $b_m^{(1)}=\frac{1}{\pi}K_{m,0}^{(1)}$ $(m=1,2,...).$

Аналогичное преобразование приводит бесконечную систему (3.18) к системе

$$y_m = \sum_{m=2}^{\infty} K_{m,n}^{(2)} y_n + b_m^{(2)} \qquad (m = 2, 3, ...)$$
 (4.8)

где $b_m^{(2)}=\alpha_m^{(2)}$ или $b_m^{(2)}=K_{m,0}^{(2)}$, или $b^{(2)}=K_{m,1}^{(2)}$ (m=2,3,...). Если $\{y_m^{(1)}\}_{m=2}$, $y_m^{(2)}=y_m^{(2)}\}_{m=2}$ являются решениями бесконечной системы (4.8) при правых частях, совпадающих с $a_m=K_m^{(2)}=y_m^{($

$$\left[1 - K - \sum_{n=2}^{\infty} K^{(2)} y_{0} - \left[K_{0,n}^{(2)} + \sum_{n=2}^{\infty} K_{0,n}^{(2)} y_{n}^{(3)}\right] y_{1} = \right]$$

$$\sum_{n=2}^{\infty} K_{0,n} y_{n} + a_{0}^{(2)}$$

$$- \left[K_{1,n}^{(2)} + \sum_{n=2}^{\infty} K_{1,n}^{(2)} y_{n}^{(2)}\right] y_{0} + \left[1 - K_{1} - \sum_{n=2}^{\infty} K_{1,n}^{(2)} y_{0}^{(2)}\right] y_{1} = \sum_{n=2}^{\infty} K_{1,n}^{(2)} y_{n}^{(2)} + 2^{(2)}$$

Квазивполнерегулярность бесконечных систем уравнений (4.7) и (4.8) при любом значении параметра и была доказана выше. Докажем теперь, что указанные бесконечные системы при определенных значениях параметра и вполне регулярны.

Сначала рассмотрим систему (4.7). Составим суммы

$$R_m^{(1)} = \frac{1}{\pi^2} \sum_{n=1}^{\infty} |K_{m,n}^{(1)}| \qquad (m = 1, 2, ...)$$

Согласно (4.1) будем иметь

$$R_{m}^{(1)} \leq \frac{h \, a}{\pi^{2}} \left[\sum_{n=1}^{\infty} \frac{|P_{m+1, n+1}|}{n+1} + \sum_{n=1}^{\infty} \frac{|P_{m, n+1}|}{n+1} + \sum_{n=1}^{\infty} \frac{|P_{m+1, n}|}{n} + \sum_{n=1}^{\infty} \frac{|P_{m, n}|}{n} \right]$$

$$+ \sum_{n=1}^{\infty} \frac{|P_{m+1, n}|}{n} + \sum_{n=1}^{\infty} \frac{|P_{m, n}|}{n} \right]$$

$$(4.9)$$

Воспользуемся изпестным неравенством Коши-Буняковского

$$\left|\sum_{k=1}^{\infty}a_kb_k\right| \leqslant \sqrt{\left|\sum_{k=1}^{\infty}|a_k|^2\sum_{k=1}^{\infty}|b_k|^2}$$

где последовательности $|a_k|_{k=1}^\infty$ и $\{b_k|_{k=1}$ принадлежат координатному гильбертову пространству l_{-k} то есть

$$\sum_{k=1}^{\infty} |a_k|^2 < \infty, \qquad \sum_{k=1}^{\infty} |b_k|^2 < \infty$$

Применив это неравенство, можем записать

$$\sum_{n=1}^{\infty} \frac{|P_{m,n}|}{n} \leqslant \sqrt{\sum_{n=1}^{\infty} \frac{1}{n^2} \sum_{n=1}^{\infty} |P_{m,n}|^2}$$

То, что последовательность $P_{m,n|n-1}$ при любом фиксированном m (m=1,2,...) принадлежит I_m , вытекает из следующего. При фиксированном m последовательность $\frac{2}{-}\|P_{m,n|n-1}\|$ является последовательностью коэффициентов Фурье функции $\cos mt$, принадлежащей пространству $L_n(0,-)$, по полной ортогональной системе функций $\{\sin nt_{n-1},$ которая также входит в пространство $L_n(0,-)$. Поэтому на основании известного неравенства Бесселя из теории рядов Фурье

$$\frac{4}{2} \sum_{n=1}^{\infty} |P_{m,n}|^2 \leqslant \frac{2}{2} \int_0^{\infty} \cos^2 mt \, dt = 1 \quad (m = 1, 2, ...)$$

3 Известия АН Арм.ССР, Механяка, № 2

Следопательно,

$$\sum_{n=1}^{\infty} \frac{|P_{m,n}|^2}{n^2} \leqslant \sqrt{\sum_{n=1}^{\infty} \frac{1}{n^2} \frac{\pi^2}{4}}$$

Ваметив, что [9]

$$\sum_{n=1}^{\infty} \frac{1}{n^2} = \frac{\pi^2}{6}$$

будем иметь

$$\sum_{n=1}^{\infty} \frac{|P_{m,n}|^2}{n^2} \leq \frac{\pi^2}{2\sqrt{6}} \qquad (m=1, 2, ...)$$

Точно такие же оценки имеют место и для других сумм. входящих в перавенство (4.9). При помощи этих оценок получим

$$R_m^{(1)} < \frac{2\lambda a}{1.6}$$
 $(m = 1, 2, ...)$

Требуем, чтобы было

$$\frac{2i a}{V \bar{6}} < 1$$

откуда ∧ 1 6/2а.

Таким образом, бесконечная система линейных уравнений (4.7) при $\lambda < 1$ 6/2a вполне регулярна.

Совершенно аналогичным образом, приняв во внимание формулы (3.19) и (3.20), докажем, что бесконечная система уравнений (4.8) вполве регулярна при $\wedge < 1$ б/а. На самом деле, указанные бесконечные системы вполне регулярны при более широком интерпале изменения физического параметра \wedge . На этом вопросе, однако, останавливаться не будем.

Таким образом, можно считать, что для бесконечных систем уравнений (3.9) и (3.18), кназивполнерегулярных в общем случае, вполнерегулярность при указанных значениях параметра и начинается фактически с первого и второго номеров соответственно.

Институт механики АН Армянской ССР

:25:

Поступила 17 [] 1972

ъ. в. диспрезпризии, и. и. пъреисвии

ԱՌԱՉԳԱԿԱՆ ՎԵՐԱԳԻՐՆԵՐՈՎ ՄԱՍՆԱԿԻՈՐԵՆ ԱՄՐԱՑՎԱԾ ԿԵՍՀԱՐԹՈՒԹՅԱՆ ՀԱՄԱՐ ՄԻ ՔԱՆԻ ԿՈՆՏԱԿՏԱՑԻՆ ԽՆԿԵՐՆԵՐ

Ամփոփում

Աշխատանթում դիտարկվում են առաձղական կիսահարկուինան համար, ուրը իր նղրագծի վերջավոր հատվածի վրա ուժեղացված է փոքր հաստություն անևցող առաձղական վերադիրներով, մի թանի կոնտակաային խնդիրները և աստ դրված խնդիրների առանձնահատկությունը, ի տարբերություն այն խնդիրների, որոնք դիտարկված են հեղինակների նախորդ աշխատանքներում է 3, կայանում է նրանում, որ հիմրի հետ մասնակիորին ամրացված առանձղական վերչավոր են (նրանր անկերչ են նշված աշխատանքներում)։

Այդ խնդիրների լուծումը բերվում է Կոշու կորիզով սինդուլյար ինտեղրողիֆերենցիալ հավասարումների լուծմանը որոշակի եզրային պայմանների դեպքում։ Առաջարկվում է այդ հավասարումների լուծման էֆեկտիվ հղանակ։

CERTAIN CONTACT PROBLEM FOR A SEMI-PLANE WITH PARTLY FASTENED ELASTIC STIFFENERS

N. Kh. ARUTIUNIAN, S. M. MKHITARIAN

Summary

Certain contact problems are considered for an elastic semi-plane, reinforced over the finite segment of its boundary by clastic stiffeners of a small thickness partly fastened to the semi-plane. A characteristic feature of the problems in question, unlike those studies in the previous contributions by the present authors [1, 2, 3], lies in the fact that at the ends of a partly fastened elastic stiffener certain finite stresses linfinite in the above references) develop which are to be determined.

ЛИТЕРАТУРА

- 1. Арушюнян Н. Х. Контоктная задача для полуплоскости с упругим кроплением, ПММ, т. 32, вып. 4, 1968, 632—646.
- Арутюнян Н. Х., Мхиторян С. М. Периодическая коптактиви задача для полуплоскости с упругими накладкоми. ПММ, т. 33, вып. 5, 1969, 813—843.
- 3. Arutunyan N. K. and Mkhitaryan S. M. Some contact problems for a semi-plane with elastic stiffeners. Trends in elasticity and thermoelasticity; Witold Nowacki Anniversary Volume. Wolters-Noordhoff Publishing, 1971, p. 3-26
- Melan E. Ein Beitrag zur Theorie geschweisster Verbindungen, Ingeneieur Archiv, vol. 3, No 2, 1932, p. 123-129
- Мускелишвили Н. И. Некоторые основные задачи математической теории упругости. Изд. 5, М., "Неука", 1966.

- Reissner E. Note on the Problem of the Distribution of Stress in a Thin Stiffened Elastic Sheet. Proceedings of the National Academy of Sciences, Vol. 26, 1940, p. 300 – 305.
- Стериберт Е., Муки Р. Передача нагрузки от растягиваемого поперечного стерина к полубесконечной упругой пластине. Прикладная механика, Труды американского о-на миженеров-механиков, русский перевод, серия Е. т. 35, № 4, 1968, 124—135.
- Мусхелишвили Н. И. Спыгулярные витегральные уравновия. Изд. 3, М., "Наука", 1968.
- 9. Градитейн И. С., Рымин И. М. Табляцы интегралов, сумм, рядов и проязведеняй. Изд. 4, М., Физматсия, 1962.